МИНОБРНАУКИ РОССИИ

ФЕДЕРАЛЬНОЕ ГОСУДАРСТВЕННОЕ БЮДЖЕТНОЕ ОБРАЗОВАТЕЛЬНОЕ УЧРЕЖДЕНИЕ ВЫСШЕГО ОБРАЗОВАНИЯ «САРАТОВСКИЙ НАЦИОНАЛЬНЫЙ ИССЛЕДОВАТЕЛЬСКИЙ ГОСУДАРСТВЕННЫЙ УНИВЕРСИТЕТ ИМЕНИ Н.Г.ЧЕРНЫШЕВСКОГО»

Кафедра Оптики и биофотоники наименование кафедры

Молекулярное моделирование постдиффузионной стадии оптического

наименование темы выпускной квалификационной работы полужирным шрифтом

просветления кожи с помощью молекулы мочевины

Студента 4 курса 4082 группы

АВТОРЕФЕРАТ БАКАЛАВРСКОЙ РАБОТЫ

аправления 12.03.04 «Биотехнические системы и технологии»									
	код и наименование	е направления	and the second second second second						
Институт физики									
наименование факультета									
Давыдова Даниила Юрьевича									
фамилия, имя, отчество									
Научный руководитель Профессор, д.ф.—		A Comment of the comm	К. В. Березин						
должность, ученая степень, уч.		личная подпись, дата	инициалы, фамилия						
Зав. кафедрой оптики и полное наимено Профессор, д.ф.—	и биофотоники ование кафедры ом.н.	дачная подпись, дата	В.В.Тучин инициалы,						
должность, ученая степень, уч.	звание.	лачная подпись, дата	фамилия						
			•						

Саратов 2025 г.

Введение. В последние годы методы оптического просветления (ОП) биологических тканей привлекают всё большее внимание в области фотомедицины и биомедицинской оптики благодаря их способности существенно увеличивать глубину и качество визуализации структуры кожи. В частности, использование иммерсионных агентов (ОПА), имеющих способность временно изменять внутренние оптические свойства тканей, выравнивая показатель преломления неровностей внутренних структур. Это позволяет уменьшить рассеяние света в дермальном слое и получить более чёткие изображения при оптической когерентной томографии (ОКТ) [1-2].

Актуальность данной работы определяется необходимостью детального исследования молекулярных механизмов, лежащих в основе ОП кожи, при помощи методов молекулярного моделирования. Основное внимание уделяется анализу взаимодействия иммерсионного агента (мочевина) с белком коллагеном, и выяснению того, как это способствуют уменьшению рассеивания света.

Целью текущей выпускной квалификационной работы является исследование молекулярных механизмов ОП кожи под воздействием мочевины с помощью современных методов молекулярного моделирования.

Для достижения поставленной цели необходимо решить следующие задачи:

- 1. Провести анализ литературных данных, связанных с методами ОП тканей, механизма действия мочевины и применении молекулярного моделирования для исследования биотканей.
- 2. Выполнить экспериментальные исследования *in vivo* с использованием ОКТ и оценить динамику изменения коэффициента рассеяния кожи под воздействием иммерсионного агента водного раствора (50%) мочевины;
- 3. Применить методы молекулярного докинга и квантовой механики для расчета энергий межмолекулярного взаимодействия;

- 4. Провести сравнительный анализ экспериментальных in vivo и теоретических данных по скорости изменения коэффициента рассеяния кожи человека.
- 5. Сформулировать рекомендации по предсказыванию эффективности ОП кожи человека различными ОПА и оптимизации применения иммерсионных агентов в оптической диагностике.

В качестве материала для исследования использовался 50 % водный раствор мочевины.

Дипломная работа состоит из заключения, списка литературы и 3 глав:

- Глава 1. Экспериментальное исследование влияния мочевины на оптические свойства
 - 1.1 Приготовление материалов
 - 1.2 Методика ОКТ
 - 1.3 Анализ и сравнение результатов
 - 1.4 Интерпретация экспериментальных КР спектров

Глава 2. Молекулярное моделирование

- 2.1 Построение и оптимизация молекулярной модели коллагена
- 2.2 Моделирование и анализ структуры иммерсионного агента
- 2.3 Молекулярный докинг
- 2.4 Методика квантово-химических расчетов
- Глава 3. Оценка эффективности оптического просветления и анализ полученных результатов
 - 3.1 Анализ результатов
- 3.2 Расчет энергий межмолекулярных взаимодействий и термодинамических параметров

Основное содержание. Был приготовлен раствор посредством микроаналитических весов DA-225DC и вихревой мешалки. Так же был замерен показатель преломления раствора с помощью рефрактометра Аббе Atago DR-M2 1550 на длинах волн 589 нм и 930 нм при температуре 25.0 °C.

После замера параметров раствора был проведен эксперимент, где ОПА наносился на участок кожи тыльной стороны предплечья, предварительно очищенный от мертвых частей рогового слоя с помощью медицинского скотча.

Изменения показателя рассеяния регистрировались спектральным ОКТ GAN930V2-BU: двумерные В-сканы записывались каждые 5 минут в течение 60 минут, после чего по усреднённым А-сканам рассчитывался коэффициент рассеяния µ_s методом обратного рассеяния в глубинном диапазоне 350—700 мкм, и, строилась аппроксимирующая кривая на основе модели однократного рассеяния [3].

На рис. 1 представлены ОКТ-изображения (В-скан) кожи сразу после нанесения на него водного раствора мочевины, усредненный А-скан ОКТ-сигнала дермального слоя кожи человека, а также аппроксимирующая кривая.

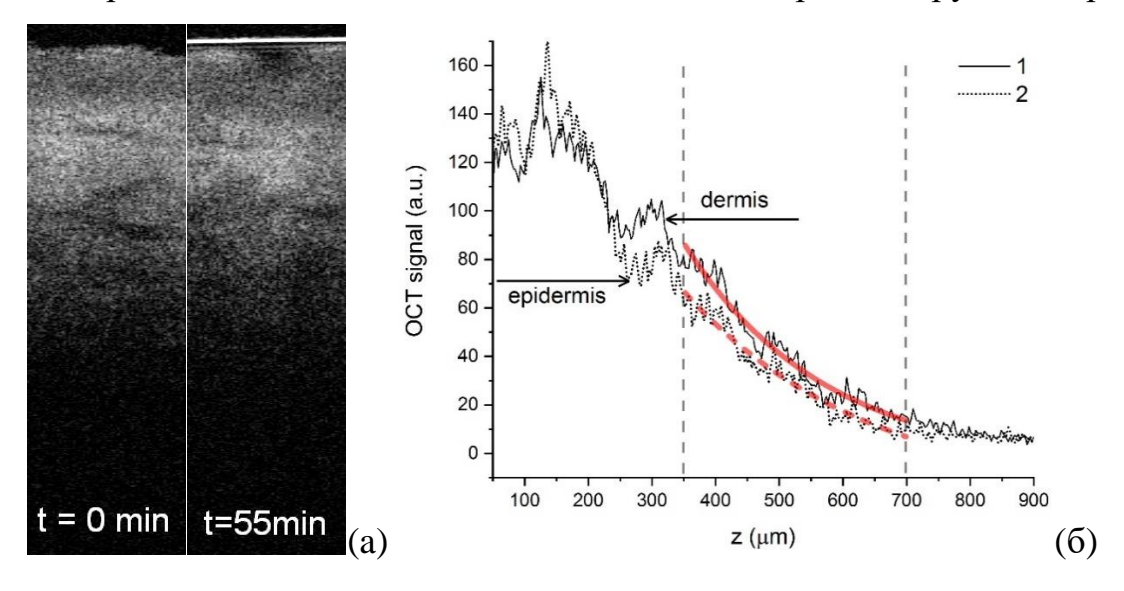


Рисунок 1 — Измерения коэффициента рассеяния µs на участке дермы после нанесения на поверхность раствора мочевины на основе анализа распределения ОКТ-сигнала, усреднённого по глубине с помощью модели однократного рассеяния. (а) — изображения В-скана кожи *in vivo*, по фрагменту которого проводилось усреднение ОКТ-сигнала сразу

после нанесения и после 55 минут воздействия. (б) — распределение усреднённых ОКТ-сигналов по глубине (тонкая кривая) и результат аппроксимации согласно модели однократного рассеяния (толстые кривые): 1 — сразу после нанесения 50% водного раствора мочевины, 2 — через 55 минут действия мочевины. Штриховыми прямыми обозначены границы участков (от 350 до 700 мкм), на которых оценивалось значение µs. Стрелками обозначены слои кожного покрова: эпидермис и дерма.

Визуально из рисунка 4 (а) видно, что с течением времени изображение верхних слоев кожи становится более темным, а более глубоких немного более светлым, что говорит о том, что под действием раствора мочевины рассеяние света верхними слоями кожи уменьшается и свет проходит в нижние слои, где более интенсивно отражается от неоднородностей, что несет информацию о глубоколежащих объектах внутри ткани. Количественно это хорошо отражается на рис. 4 (б).

Численные значения коэффициента рассеяния, полученные с помощью усредненного А-скана, использовались и для оценки эффективности ОП кожи *in vivo*. Зависимость коэффициента рассеяния под действием раствора мочевины от времени наблюдения представлена на рис. 2.

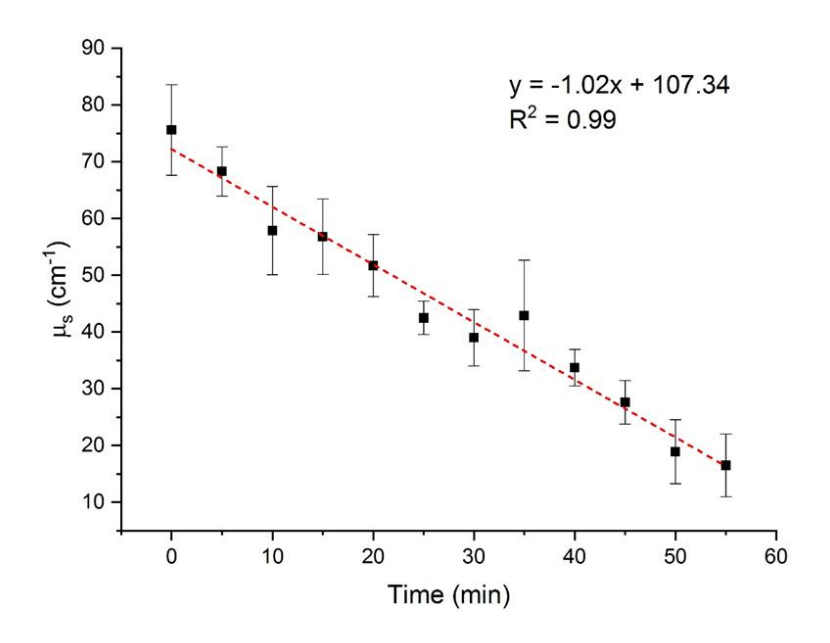


Рисунок 2 — Временные зависимости коэффициента рассеяния μ_s в дермальном участке (350—700 мкм) кожи человека при воздействии на него *in vivo* 50% раствора мочевины. Линейная аппроксимация отмечена пунктирной линией и выражена в виде уравнения.

Из рис. 2 видно, что для используемого в работе ОПА, значение коэффициента рассеяния μ_s на большом интервале времени воздействия хорошо описывается моделью линейной регрессии (коэффициент корреляции R^2 составляет 99%).

Для численной оценки эффективности ОП кожи человека использовалось значение модуля средней скорости снижения коэффициента рассеяния. Это значение представляет собой величину наклона, определенное из уравнений линии регрессии, и для мочевины оно равно 0.96 ± 0.05 см⁻¹ мин⁻¹. Для сравнения аналогичные параметры для других иммерсионных агентов приведены на рис. 3.

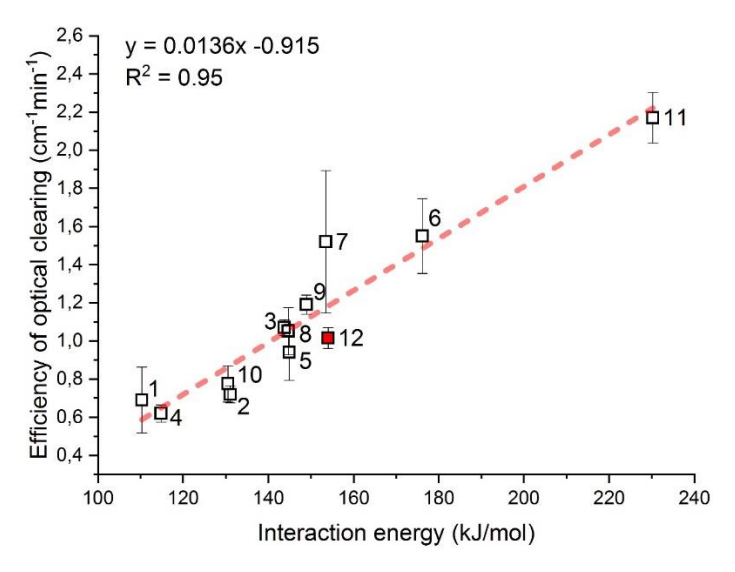


Рисунок 3 – Зависимость величины эффективности оптического просветления кожи человека in vivo от энергии межмолекулярного взаимодействия между просветляющими агентами и фрагментом пептида коллагена((GPH)3)2. Цифрами обозначены различные виды просветляющих агентов: 1– глицерин, 2 – ксилитол, 3 – сорбитол, 4 – ксилоза, 5-рибоза, 6 – глюкоза, 7 – фруктоза, 8 – сахароза, 9 – глюкозамин, 10 – йогексол, 11 – ДМСО, 12 – мочевина. Линейная аппроксимация отмечена пунктирной линией и выражена в виде уравнения.

200-2000 cm^{-1} были диапазоне так же зарегистрированы КР экспериментальные спектры (рис. 4) молекулы мочевины кристаллической фазе и в виде 50% водного раствора. Регистрация проводилась с помощью КР спектрометра QEPRO-RAMAN.

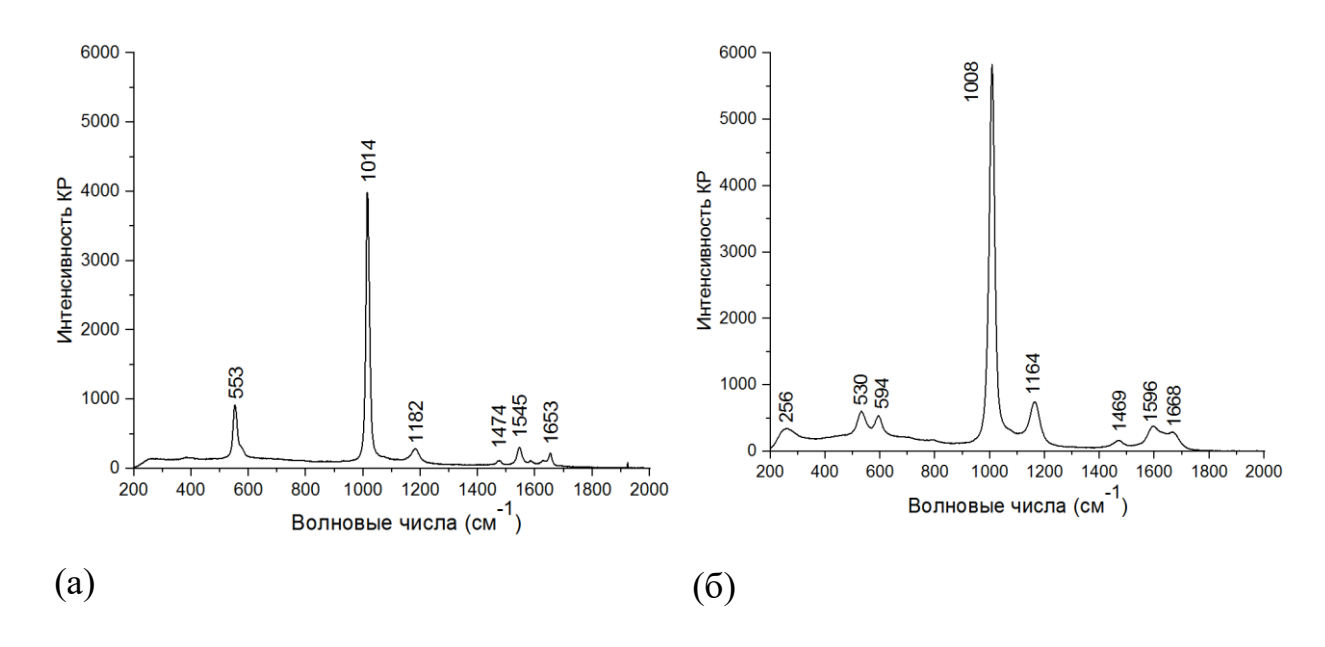


Рисунок 4 – Экспериментальные КР спектры мочевины в кристаллической фазе (a) и в 50% водном растворе (б).

Молекулярное моделирование. Для моделирования была выбрана и построена структура пептида-миметика коллагена ((GPH)₃)₉ [4] и ее сокращенный вариант ((GPH)₃)₂ (рис.5 (в)), зачастую являющиеся важной частью человеческого коллагена. Так же в модели были добавлены атомы водорода с последующей оптимизацией их геометрических структур методом молекулярной механики [5]. Структура, представленная на рис.5 (в), имеет структурно молекулярный карман размером порядка 10 на 15 ангстрем, который содержит в себе четыре функциональные группы: две гидроксильные (О1Н1, О2Н2) и две карбонильные (СЗОЗ, С4О4), которые образуют водородные связи с молекулами ОПА.

Дальше с помощью метода DFT/B3LYP/6-311+G (d,p) [6] в программе Gaussian [7] была смоделирована молекула мочевины, после чего с помощью

конформационного анализа структуры модели мочевины было определено, что она может иметь два вида конфигурации: первая конфигурация с симметрией $C_{\rm S}$ (рис.3(a)) и вторая с симметрией $C_{\rm S}$ (рис.3(б)). Анализ показал, что наименьшую энергию имеет симметрия $C_{\rm S}$.

Вычисленные структурные параметры молекулярной модели мочевины использовались дальше при молекулярном докинге в программе AutoDockVina [8], где были построены модели водородосодержащих комплексов упомянутых ранее, и выбраны пять наиболее энергетически стабильных конфигураций межмолекулярных комплексов.

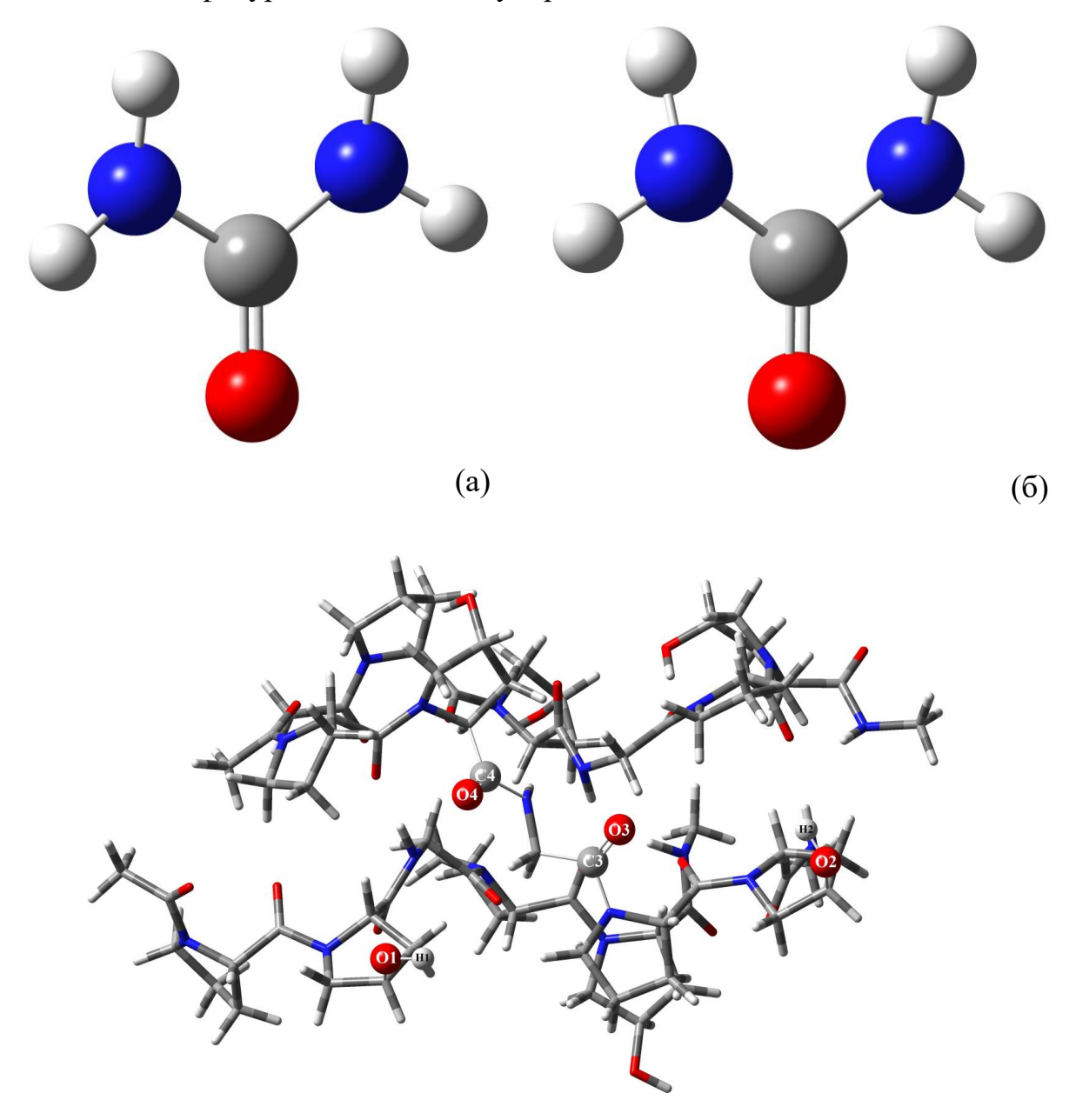


Рисунок 5 — Структура сокращенного варианта пептида-миметика коллагена ((GPH)₃)₂ оптимизированная методом HF/STO-3G (а) и две возможные пространственные структуры молекулы мочевины: б) тип симметрии Сs, в) тип симметрии С₂, рассчитанные методом B3LYP/6-311G+(d,p). Буквами отмечены атомы функциональных групп, с которыми образуются водородные связи.

В процессе молекулярного моделирования, проводимого с помощью молекулярного докинга, было замечено, что молекула мочевины мала, и заняла только одну часть молекулярного кармана. Поэтому было решено рассматривать взаимодействие с двумя молекулами мочевины, а не с одной.

Была проведена структурная оптимизация всех полученных посредством молекулярного докинга комплексов методом HF/STO3G с последующим уточнением их электронной энергии с помощью однократной SCF (Self-Consistent Field) процедуры методом B3LYP/6-311G(d). Дальше вычислялась энергия межмолекулярного взаимодействия комплексов по формуле:

$$\Delta E = E_{\text{KOMIL}} - E_{GPH} - E_{\text{MOY}}, \tag{1}$$

На рис. 6 представлен межмолекулярный комплекс ((GPH)₃)₂-мочевина с максимальной энергией взаимодействия

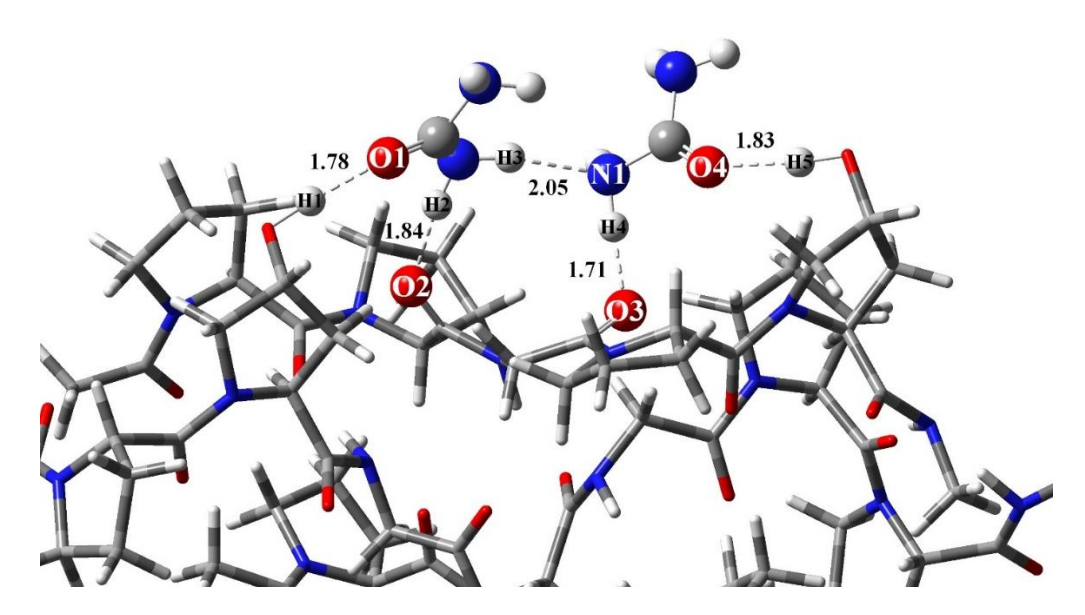


Рисунок 6 — Фрагмент молекулярной модели комплекса пептида коллагена ((GPH) $_3$) $_2$ с молекулой мочевины, оптимизированный методом HF/STO-3G. Пунктирными линиями на

рисунке показаны межмолекулярные водородные связи. Цифрами на рисунке показаны длины водородных связей в ангстремах.

Были проведены дополнительные исследования межмолекулярного взаимодействия с применением функционала wB97XD [9]. При этом использовался расширенный базисный набор 6-311+G(d,p), чтобы исключить ошибку связанную с ограниченным базисом STO-3G.

Из-за того, что обе молекулы мочевины присоединяются к определенной части цепи пептида, была вырезана эта часть и рассмотрен комплекс GPH-мочевина, структура которого показана на рис. 7 (а). Помимо этого, был рассмотрен комплекс GPH... H_2O для сравнения мочевины с водой.

Для оценки термодинамических параметров были еще рассчитаны два вида моногидратов мочевины, которые отличаются структурой водородных связей, димер молекулы воды и первая гидратная оболочка мочевины (рис. 7(б)).

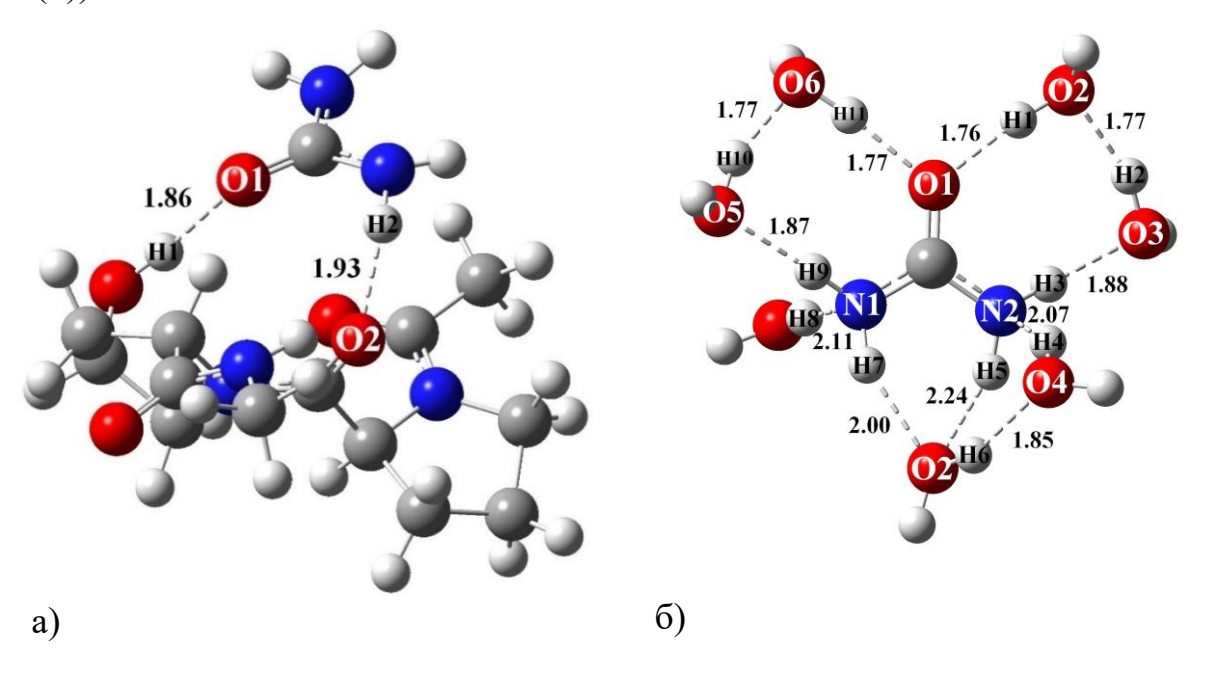


Рисунок 7 — Молекулярные модели комплексов: а) мочевина с цепочкой из трех аминокислотных остатков пролина, гидроксипролина и глицина (GPH), б) 7H2O...мочевина, рассчитанные методом wB97XD/6-311G+(d,p). Пунктирными линиями показаны водородные связи. Цифрами на рисунки показаны длины водородных связей в ангстремах.

Оценка эффективности оптического просветления и анализ полученных результатов.

Энергии межмолекулярного взаимодействия рассчитывалась с учетом базисной суперпозиционной ошибки (BSSE) [10].

Были рассчитаны термодинамические параметры всех комплексов для температур T=0К и T=310.15 и занесены в таблицу 1.

Таблица 1 – Термодинамические параметры межмолекулярных комплексов в единицах кДж/моль и константы равновесия, вычисленные с учетом BSSE методом wB97XD/6-311+G(d,p).

Молекулярный	BSSE	ΔZPE	ΔΕ	ΔH_0^0	$\Delta H_{310.1}^{0}$	$T\Delta S$	K _{310.15}
комплекс							
GPHH ₂ O	7.3	12.0	-79.0	-59.6	-63.2	-45.0	1.2E+03
GPHмочевина	6.0	6.8	-73.5	-60.7	-60.6	-54.8	9.4E+00
Димер H ₂ O	3.4	10.0	-26.4	-13.0	-15.4	-28.0	7.6E-03
Мочевина H ₂ O*	2.7	9.7	-45.6	-33.2	-35.6	-37.3	5.2E-01
Мочевина H ₂ O**	3.5	6.6	-31.8	-21.6	-21.6	-32.0	1.8E-02
Мочевина 7(H ₂ O)	14.8	72.9	-316.4	-228.8	-	-	-
				-32.7***			

^{*-} структура моногидрата мочевины (рис.7 (в));

Из таблицы видно, что в термодинамическом отношении коллаген гораздо сильнее взаимодействует с водой, чем с мочевиной, и это видно по значениям энтальпии и константам равновесия. При этом мочевина образует более стабильные комплексы с молекулами воды, чем вода сама с собой. Это указывает на высокую способность мочевины разрушать сетку водородных связей воды (деструкция водной структуры). Несмотря на то, что мочевина хуже связывается с коллагеном, она эффективно конкурирует за воду,

^{**-} структура моногидрата мочевины (рис.7 (г));

^{***-} значение в расчете на одну молекулу воды.

разрушая её структуру и ослабляя гидратационную оболочку коллагена. Это ведёт к косвенному разрушению структуры коллагена, поскольку вода важный стабилизатор его структуры

В заключении, из полученных экспериментальных данных была определена эффективность оптического просветления 50% водного раствора a выяснено, мочевина проявляет обратимое мочевины, также ЧТО денатурирующее действие не за счёт более прочного связывания с коллагеном, а за счёт разрушения водной структуры и дестабилизации системы коллагентермодинамически подтверждается как ПО энтальпиям взаимодействия, так и по константам устойчивости. Таким образом, влияние на структуру коллагена в результате приводит к изменению его показателя преломления и выравнивая его с показателем преломления межклеточной жидкости, смешанной с ОПА, что сказывается на процессе ОП кожи человека.

Список литературы

- Tuchin, V. V. Tissue optics: Light scattering methods and instruments for medical diagnostics/V.V. Tuchin. – 3rd ed. – Bellingham, WA: SPIE Press, 2015. – 988 p. – (PM; 254).
- 2. Tuchin, V. V. Handbook of tissue optical clearing: New prospects in optical imaging / V. V. Tuchin; ed. by V. V. Tuchin, D. Zhu, E. A. Genina. Boca Raton, FL: CRC Press, 2022. 688 p.
- 3. Faber D. J. Quantitative measurement of attenuation coefficients of weakly scattering media using optical coherence tomography //Optics express. 2004. T. 12. №. 19. C. 4353-4365. DOI: 10.1364/OPEX.12.004353
- 4. Okuyama K. Crystal structure of (Gly-Pro-Hyp) 9: Implications for the collagen molecular model //Biopolymers. 2012. T. 97. №. 8. C. 607-616. DOI: 10.1002/bip.22048
- 5. Cornell W. D. A second generation force field for the simulation of proteins, nucleic acids, and organic molecules //Journal of the American Chemical Society. − 1995. − T. 117. − №. 19. − C. 5179-5197. DOI: 10.1021/ja00124a002
- 6. Becke A. D. Density-functional thermochemistry. III. The role of exact exchange / A. D. Becke //The Journal of chemical physics. 1993. T. 98. №. 7. C. 5648-5652. DOI: 10.1063/1.464913
- Frisch, M. gaussian 09, Gaussian / M. Frisch, G. W. Trucks, H. B. Schlegel,
 H. B. Scuseria, G. E. Robb. Wallingford CT. Gaussian Inc. 2009. T. 121.
 C. 150-166.
- 8. Duan Y. A point-charge force field for molecular mechanics simulations of proteins based on condensed-phase quantum mechanical calculations //Journal of computational chemistry. − 2003. − T. 24. − №. 16. − C. 1999-2012. DOI: 10.1002/jcc.10349
- 9. Chai J. D. Systematic optimization of long-range corrected hybrid density functionals //The Journal of chemical physics. − 2008. − T. 128. − №. 8. DOI: 10.1063/1.2834918

10. Simon i Rabasseda S. How does basis set superposition error change the potential surfaces for hydrogen-bonded dimers? //Journal of Chemical Physics, 1996, vol. 105, núm. 24, p. 11024-11031. – 1996. DOI:10.1063/1.472902

Sco